

Exercício 1

September 20, 2020

1 Exercício PA1-1

Exercício com data de entrega para 21 de setembro de 2020.

Aluno: Noé de Lima Bezerra

noe_lima@id.uff.br

```
[1]: import numpy as np
import sympy as sp
import matplotlib.pyplot as plt
from IPython.display import display, Math, Image
sp.init_printing(use_latex='mathjax', latex_mode='equation*')
```

```
[2]: Image("Figuras/PA1-1.png")
```

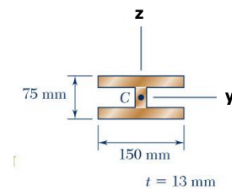
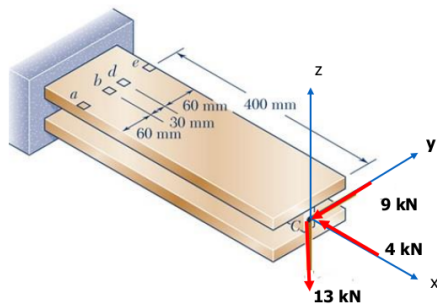
[2]:

AVALIAÇÃO 2 – EXERCÍCIO PA1-1

Três placas de aço com 13 mm de espessura, são soldadas para formar uma viga em balanço. Para o carregamento mostrado, determine as tensões principais e de cisalhamento máxima:

- a) Ponto a;
- b) Ponto b;
- c) Ponto d;
- d) Ponto e.

Utilizar Círculo de Mohr



2 Solução

2.1 Esforços Solicitantes

Na seção S , vista pelo lado direito, temos os seguintes esforços solicitantes:

```
[3]: N = -4000
     Vy = 9000
     Vz = 13000
     Tx = 0
     My = (13e3*400e-3/1e3)*1e6
     Mz = (-9e3*400e-3/1e3)*1e6
     display(Math('N = %d~kN' % (N/1e3)))
     display(Math('|V_{y}| = %d~kN' % (Vy/1e3)))
     display(Math('|V_{z}| = %d~kN' % (Vz/1e3)))
     display(Math('T_{x} = %d' % Tx))
     display(Math('M_{y} = %.2f\\times 10^{6} N\\cdot mm' % (My/1e6)))
     display(Math('M_{z} = %.2f\\times 10^{6} N\\cdot mm' % (Mz/1e6)))
```

$$N = -4 \text{ kN}$$

$$|V_y| = 9 \text{ kN}$$

$$|V_z| = 13 \text{ kN}$$

$$T_x = 0$$

$$M_y = 5.20 \times 10^6 \text{ N} \cdot \text{mm}$$

$$M_z = -3.60 \times 10^6 \text{ N} \cdot \text{mm}$$

2.2 Cálculo da Área Total

```
[4]: A = 150*75 - (150-13)*(75-26)
     display(Math(r'A = %d~mm^{2}' % A))
```

$$A = 4537 \text{ mm}^2$$

2.3 Momentos de Inércia Estáticos

$$I_y = \frac{13 \times 49^3}{12} + 2 \times \left[\frac{150 \times 13^3}{12} + 150 \times 13 \times 31^2 \right]$$

$$I_z = \frac{2 \times 13 \times 150^3}{12} + \frac{49 \times 13^3}{12}$$

```
[5]: Iy = 13*(49**3)/12 + 2*(150*(13**3)/12 + 150*13*31**2)
     display(Math(r'I_{y} = %.2f\times 10^{-6} mm^{4}' % (Iy/1e6)))
     Iz = 2*13*(150**3)/12 + 49*(13**3)/12
     display(Math(r'I_{z} = %.2f\times 10^{-6} mm^{4}' % (Iz/1e6)))
```

$$I_y = 3.93 \times 10^{-6} \text{ mm}^4$$

$$I_z = 7.32 \times 10^{-6} mm^4$$

2.4 Círculo de Mohr

```
[6]: def mohr(s_x,s_y,t_xy):
    if t_xy == 0:
        t_xy = 1e-10 # Evitar divisão por zero!
    z = np.linspace(0,360,360)
    r = np.sqrt((((s_x-s_y)/2)**2)+t_xy**2)
    s_med = ((s_x+s_y)/2)
    tg2tc = -(s_x-s_y)/(2*t_xy)
    tg2tp = -1/(tg2tc)
    tc = np.degrees(np.arctan(tg2tc)/2)
    tp = np.degrees(np.arctan(tg2tp)/2)
    x = s_med + r*np.cos(np.radians(z))
    y = r*np.sin(np.radians(z))
    a = ([s_x,s_x,s_y,s_y,s_x])
    b = ([0,t_xy,-t_xy,0,0])
    # Plot
    text = '\n'.join((
        r'\sigma_{min} = %.1f~MPa$' % (s_med-r,),
        r'\sigma_{max} = %.1f~MPa$' % (s_med+r,),
        r'\tau_{max} = %.1f~MPa$' % (r,),
        r'\theta_{p} = %.0f^{o}$' % (tp,),
        r'\theta_{c} = %.0f^{o}$' % (tc,)
    ))
    props = dict(boxstyle='round', facecolor='wheat', alpha=0.5)
    plt.plot(a,b,x,y)
    plt.xlabel(r"$\sigma$", size=18)
    plt.ylabel(r"$\tau$", size=18)
    plt.title("Círculo de Mohr")
    plt.text(s_med-1.6*r,r,text, fontsize=12, verticalalignment='top',
    ↪bbox=props)
    plt.axis("equal")
    plt.show()
```

2.5 Ponto a

2.5.1 Tensão Normal σ_x

$$\sigma_x = \frac{N}{A} - \frac{M_z y}{I_z} + \frac{M_y z}{I_y}$$

```
[7]: sigma_xa = N/A - (Mz*(-75)/Iz) + (My*37.5/Iy)
display(Math(r'\sigma_{xa} = %.2f~MPa' % sigma_xa))
```

$$\sigma_{xa} = 11.86 \text{ MPa}$$

2.5.2 Tensão Normal σ_y

Como não há força comprimindo ou tracionando na direção y , temos, diretamente:

```
[8]: sigma_ya = 0  
display(Math(r'\sigma_{ya} = %d' % sigma_ya))
```

$$\sigma_{ya} = 0$$

2.5.3 Tensão Cisalhante τ_{xy}

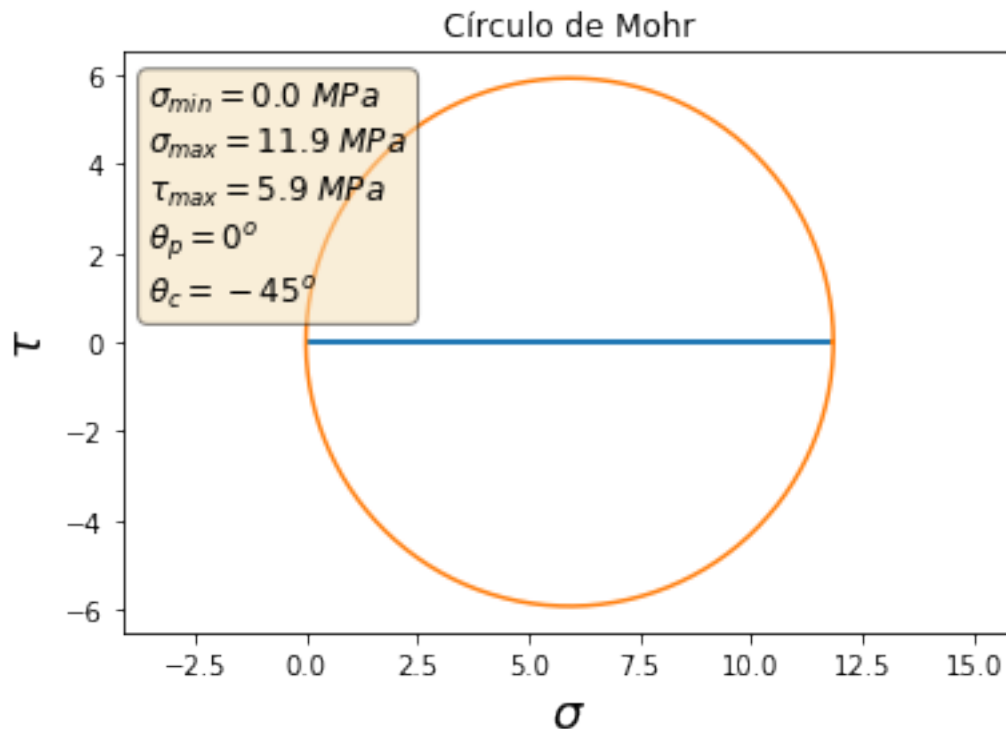
$$\tau = \frac{T}{2t\bar{A}} + \frac{V_z Q_y}{bI_y} + \frac{V_y Q_z}{bI_z}$$

Como no ponto a , $Q_z = 0$, $T = 0$ e, considerando o Estado Plano de Tensão no plano xy , fazemos $V_z = 0$, temos:

```
[9]: tau_xya = 0  
display(Math(r'\tau_{xya} = %d' % tau_xya))
```

$$\tau_{xya} = 0$$

```
[10]: mohr(sigma_xa,sigma_ya,tau_xya)
```



2.6 Ponto b

2.6.1 Tensão Normal σ_x

```
[11]: sigma_xb = N/A - (Mz*(-15)/Iz) + (My*37.5/Iy)
      display(Math(r'\sigma_{xb} = %.2f~MPa' % sigma_xb))
```

$$\sigma_{xb} = 41.36 \text{ MPa}$$

2.6.2 Tensão Normal σ_y

Como não há força comprimindo ou tracionando na direção y , temos, diretamente:

```
[12]: sigma_yb = 0
      display(Math(r'\sigma_{yb} = %d' % sigma_yb))
```

$$\sigma_{yb} = 0$$

2.6.3 Tensão Cisalhante τ_{xy}

$$\bar{d}_{yb} = \frac{2 \times 13 \times 60 \times (-30 - 15)}{2 \times 13 \times 60}$$

```
[13]: dyb = -2*13*60*45/(2*13*60)
      display(Math(r'\bar{d}_{yb} = %.2f~mm' % dyb))
```

$$\bar{d}_{yb} = -45.00 \text{ mm}$$

$$Q_{zb} = -(2 \times 13 \times 60) \times 45$$

```
[14]: Qzb = (2*13*60)*dyb
      display(Math(r'Q_{zb} = %.2f~mm^{\text{3}}' % Qzb))
```

$$Q_{zb} = -70200.00 \text{ mm}^3$$

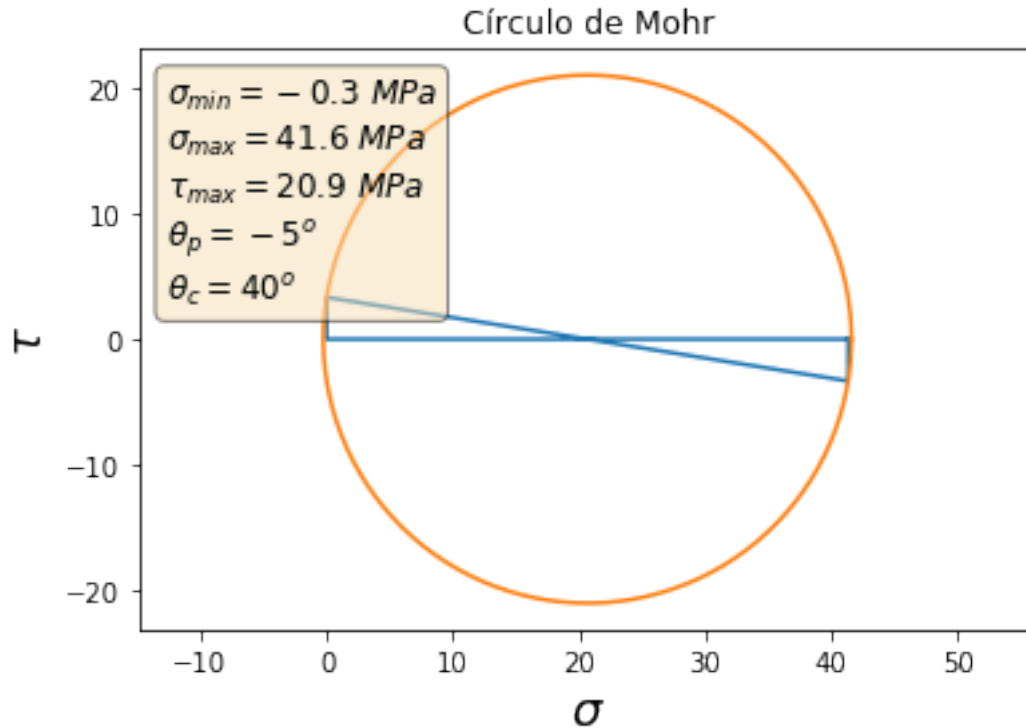
Como no ponto b temos $T = 0$ e, considerando o Estado Plano de Tensão no plano xy , fazemos $V_z = 0$, temos:

$$\tau_{xy} = \frac{V_y Q_z}{b I_z}$$

```
[15]: tau_xyb = Vy*Qzb/(26*Iz)
      display(Math(r'\tau_{xyb} = %.2f~MPa' % tau_xyb))
```

$$\tau_{xyb} = -3.32 \text{ MPa}$$

```
[16]: mohr(sigma_xb,sigma_yb,tau_xyb)
```



2.7 Ponto d

2.7.1 Tensão Normal σ_x

```
[17]: sigma_xd = N/A - (Mz*(15)/Iz) + (My*37.5/Iy)
      display(Math(r'\sigma_{xd} = %.2f\text{MPa}' % sigma_xd))
```

$$\sigma_{xd} = 56.11 \text{ MPa}$$

2.7.2 Tensão Normal σ_y

Como não há força comprimindo ou tracionando na direção y , temos, diretamente:

```
[18]: sigma_yd = 0
      display(Math(r'\sigma_{yd} = %d' % sigma_yd))
```

$$\sigma_{yd} = 0$$

2.7.3 Tensão Cisalhante τ_{xy}

$$\bar{d}_{yb} = \frac{2 \times 13 \times 60 \times (30 + 15)}{2 \times 13 \times 60}$$

```
[19]: dyd = 2*13*60*45/(2*13*60)
display(Math(r'\bar{d}_{yd} = %.2f~mm' % dyd))
```

$$\bar{d}_{yd} = 45.00 \text{ mm}$$

$$Q_{zd} = (2 \times 13 \times 60) \times 45$$

```
[20]: Qzd = (2*13*60)*dyd
display(Math(r'Q_{zd} = %.2f~mm^{\text{3}}' % Qzd))
```

$$Q_{zd} = 70200.00 \text{ mm}^3$$

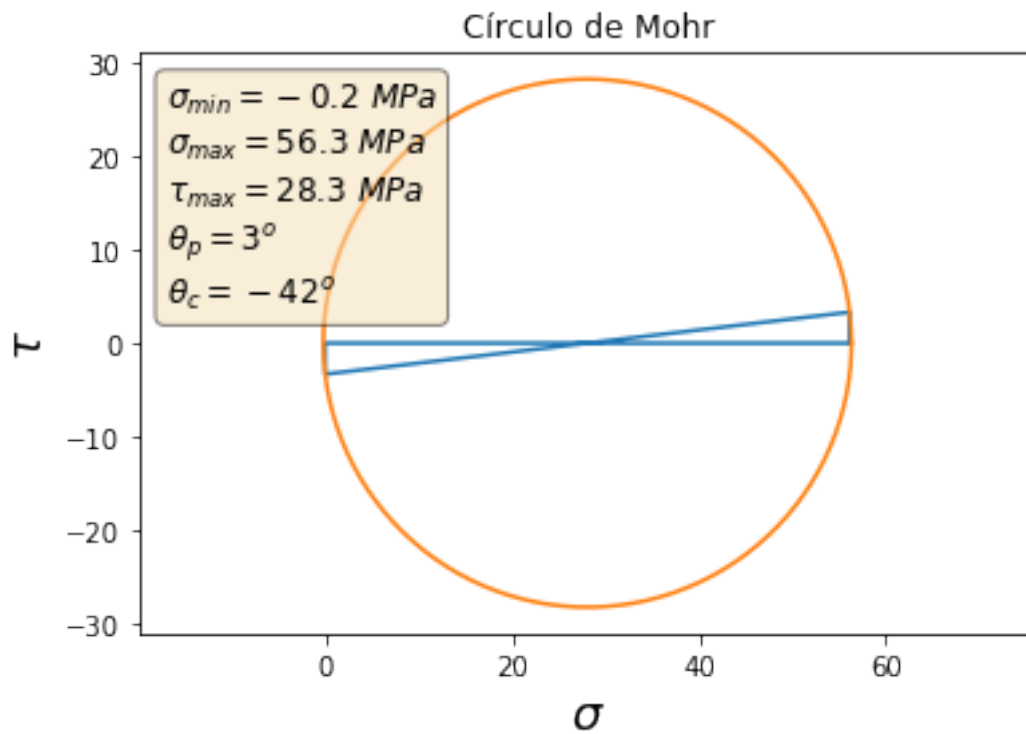
Como no ponto d temos $T = 0$ e, considerando o Estado Plano de Tensão no plano xy , fazemos $V_z = 0$, temos:

$$\tau_{xy} = \frac{V_y Q_z}{b I_z}$$

```
[21]: tau_xyd = Vy*Qzd/(26*Iz)
display(Math(r'\tau_{xyd} = %.2f~MPa' % tau_xyd))
```

$$\tau_{xyd} = 3.32 \text{ MPa}$$

```
[22]: mohr(sigma_xd,sigma_yd,tau_xyd)
```



2.8 Ponto *e*

2.8.1 Tensão Normal σ_x

$$\sigma_x = \frac{N}{A} - \frac{M_z y}{I_z} + \frac{M_y z}{I_y}$$

```
[23]: sigma_xe = N/A - (Mz*(75)/Iz) + (My*37.5/Iy)
      display(Math(r'\sigma_{xe} = %.2f~MPa' % sigma_xe))
```

$$\sigma_{xe} = 85.61 \text{ MPa}$$

2.8.2 Tensão Normal σ_y

Como não há força comprimindo ou tracionando na direção y , temos, diretamente:

```
[24]: sigma_ye = 0
      display(Math(r'\sigma_{ye} = %d' % sigma_ye))
```

$$\sigma_{ye} = 0$$

2.8.3 Tensão Cisalhante τ_{xy}

Como no ponto e , $Q_z = 0$, $T = 0$ e, considerando o Estado Plano de Tensão no plano xy , fazemos $V_z = 0$, temos:

```
[25]: tau_xye = 0
      display(Math(r'\tau_{xye} = %d' % tau_xye))
```

$$\tau_{xye} = 0$$

```
[26]: mohr(sigma_xe,sigma_ye,tau_xye)
```